

Toegepaste energieleer

Formulebladen

© 2005 Sdu Uitgevers bv, Den Haag

Alle rechten voorbehouden. Alle auteursrechten en databankrechten ten aanzien van deze uitgave worden uitdrukkelijk voorbehouden. Deze rechten berusten bij Sdu Uitgevers bv.

Behoudens de in of krachtens de Auteurswet 1912 gestelde uitzonderingen, mag niets uit deze uitgave worden verveelvoudigd, opgeslagen in een geautomatiseerd gegevensbestand of openbaar gemaakt in enige vorm of op enige wijze, hetzij elektronisch, mechanisch, door fotokopieën, opnamen of enige andere manier, zonder voorafgaande schriftelijke toestemming van de uitgever.

Voorzover het maken van reprografische verveelvoudigingen uit deze uitgave is toegestaan op grond van artikel 16 h Auteurswet 1912, dient men de daarvoor wettelijk verschuldigde vergoedingen te voldoen aan de Stichting Reprorecht (postbus 3060, 2130 KB Hoofddorp, www.reprorecht.nl). Voor het overnemen van gedeelte(n) uit deze uitgave in bloemlezingen, readers en andere compilatiewerken (artikel 16 Auteurswet 1912) dient men zich te wenden tot de Stichting PRO (Stichting Publicatie- en Reproductierechten Organisatie, Postbus 3060, 2130 KB Hoofddorp, www.cedar.nl/pro). Voor het overnemen van een gedeelte van deze uitgave ten behoeve van commerciële doeleinden dient men zich te wenden tot de uitgever.

Hoewel aan de totstandkoming van deze uitgave de uiterste zorg is besteed, kan voor de afwezigheid van eventuele (druk)fouten en onvolledigheden niet worden ingestaan en aanvaarden de auteur(s), redacteur(en) en uitgever deswege geen aansprakelijkheid voor de gevolgen van eventueel voorkomende fouten en onvolledigheden.

All rights reserved. No part of this publication may be reproduced, stored in a retrieval system, or transmitted in any form or by any means, electronic, mechanical, photocopying, recording or otherwise, without the publisher's prior consent.

While every effort has been made to ensure the reliability of the information presented in this publication, Sdu Uitgevers neither guarantees the accuracy of the data contained herein nor accepts responsibility for errors or omissions or their consequences.

Energievormen

materiegebonden energievormen

$$\text{kinetische energie} \quad E_k = \frac{1}{2}mv^2 \quad [\text{J}] \quad [2.1]$$

$$\text{potentiële energie} \quad E_p = mgz \quad [\text{J}] \quad [2.3]$$

$$\text{inwendige energie} \quad U = mc_v T \quad [\text{J}] \quad [2.4]$$

$$\text{kernenergie} \quad E_{\text{kern}} = mc^2 \quad [\text{J}] \quad [2.5]$$

$$\text{chemische energie} \quad H_{\text{ch}} = m_{\text{br}} h_0 \quad [\text{J}] \quad [2.6]$$

arbeid

$$W = \int F ds \quad [\text{J}] \quad [2.7]$$

$$W = \int P dt \quad [\text{J}] \quad [2.14]$$

$$\text{volumearbeid bij een fluïdum} \quad W = \int p dV \quad [2.9] \quad \text{met } F = pA \quad [\text{N}] \quad [2.8]$$

$$\text{technische arbeid bij een fluïdum} \quad W_t = -\int V dp \quad [\text{J}] \quad [7.6]$$

$$W_t = nW \quad [7.29]$$

$$\text{roterende beweging} \quad W = \int M d\alpha \quad [2.11] \quad \text{met } M = F \times R \quad [\text{Nm}] \quad [2.10]$$

$$\text{elektrische arbeid} \quad W = Uq \quad [2.12]$$

vermogen

$$P = \lim_{\Delta t \rightarrow 0} \frac{\Delta W}{\Delta t} = \frac{dW}{dt} \quad [\text{W}] \quad [2.13]$$

$$P = \Phi_m \omega \quad [\text{W}] \quad [2.35]$$

$$\text{rechtlijnige beweging} \quad P = Fv \quad [2.15]$$

$$\text{roterende beweging} \quad P = M\omega \quad [2.16] \quad \text{met } \omega = \frac{2\pi n}{60} \quad [2.17]$$

$$\text{elektrisch vermogen} \quad P = UI \quad [2.18]$$

warmte

$$Q = \int \Phi_w dt \quad [\text{J}] \quad [2.20]$$

$$Q = \int mc(T)dT \quad [\text{J}] \quad [3.3]$$

$$Q = \int T dS \quad [\text{J}] \quad [8.23]$$

warmtestroom

$$\Phi_w = \frac{dQ}{dt} \quad [\text{W}] \quad [2.19]$$

$$\Phi_w = \Phi_m q \quad [\text{W}] \quad [2.36]$$

convectieve warmteoverdracht $\Phi_w = \alpha_c A \Delta T \quad [2.23]$

uitgezonden straling door een oppervlak $\Phi_w = \varepsilon A \sigma T^4 \quad [2.24]$

warmtestraling tussen twee oppervlakken $\Phi_{w,12} = \varepsilon_1 \cdot \Psi_{12} A_1 \sigma (T_1^4 - T_2^4) \quad [2.25]$ of

$$\Phi_{w,12} = \alpha_s A_1 (T_1 - T_2) \quad [2.27]$$

warmtestroomdichtheid

$$\varphi_w = \frac{\Phi_w}{A} \quad [\text{W}/\text{m}^2] \quad [2.21]$$

warmtegeleiding $\varphi_w = -\lambda \frac{dT}{dx} \quad [2.22]$

specifieke energie

$$e = \frac{E}{m} \quad [\text{J}/\text{kg}] \quad [2.29]$$

Toestandsgrootheden

$$\text{dichtheid} \quad \rho = \frac{m}{V} \quad [\text{kg/m}^3] \quad [3.1]$$

$$\text{enthalpie} \quad H = U + pV \quad [\text{J}] \quad [3.9]$$

entropieverandering bij omkeerbaar proces

$$dS = \frac{dQ}{T} \quad [\text{J/K}] \quad [8.21] \quad \Rightarrow \quad \Delta S_{\text{omk}} = \int \frac{dQ}{T} \quad [8.8]$$

specifieke entropieveranderingen geldig voor zowel omkeerbaar als niet-omkeerbaar proces

	Toestandsverandering	Specifieke entropieverandering	Vergelijking
Algemeen		$\Delta s = c \ln \left(\frac{T_2}{T_1} \right)$	[8.9]
Ideaal gas	Isobaar	$\Delta s = c_p \ln \left(\frac{T_2}{T_1} \right) = c_p \ln \left(\frac{v_2}{v_1} \right)$	[8.10]
	Isochoor	$\Delta s = c_v \ln \left(\frac{T_2}{T_1} \right) = c_v \ln \left(\frac{p_2}{p_1} \right)$	[8.11]
	Isotherm	$\Delta s = R_s \ln \left(\frac{p_2}{p_1} \right) = R_s \ln \left(\frac{v_1}{v_2} \right)$	[8.12]
	Polytroop	$\Delta s = c_v \ln \left(\frac{T_2}{T_1} \right) + R_s \ln \left(\frac{v_2}{v_1} \right)$	[8.13]
		$\Delta s = c_v \ln \left(\frac{p_2}{p_1} \right) + c_p \ln \left(\frac{v_2}{v_1} \right)$	[8.14]
		$\Delta s = c_p \ln \left(\frac{T_2}{T_1} \right) + R_s \ln \left(\frac{p_1}{p_2} \right)$	[8.15]
Zuiver mengsel	Verdampen en condenseren	$\Delta s = \frac{\Delta x \cdot r}{T}$	[8.16]

gas

$$\text{ideale gaswet} \quad \frac{pV}{T} = mR_s \quad [\text{J/K}] \quad [3.20]$$

$$\text{specifieke gasconstante} \quad R_s = c_p - c_v \quad [\text{J/kgK}] \quad [5.4]$$

mengsels

enthalpie $H_m = \sum H_i$ [J] [3.28]

soortelijke warmte $c_m = \sum y_i c_i$ [J/kgK] [3.30]

gemiddelde temperatuur $T_m = \frac{\sum m_i c_i T_i}{\sum m_i c_i}$ [K] [3.31]

ideale gaswet $\frac{p_m V_m}{T_m} = m R_{s,m}$ [J/kgK] [3.32]

mengseldruk $p_m = \sum_{i=1}^n p_i$ [Pa] [3.33]

specifieke gasconstante $R_{s,m} = \sum_{i=1}^n y_i R_{s,i}$ [J/kgK] [3.34]

vloeistof-dampmengsel

specifieke enthalpie $h = x \cdot h_d - (1-x)h_{vl}$ [J/kg] [3.36]

$$h = \frac{s - s_{vl}}{s_d - s_{vl}} (h_d - h_{vl}) + h_{vl} \quad [\text{J/kg}] \quad [9.1]$$

vloeistof

specifieke enthalpie $h = h_{vl} + v_{vl} \cdot (p - p_{vl})$ [J/kg] [3.38]

vochtige lucht

absolute vochtigheid $x = \frac{m_{wd}}{m_{dl}}$ [kg/kg] [3.39]

$$x = \frac{0,622 p_{wd}}{1,01325 \cdot 10^5 - p_{wd}} \quad [\text{kg/kg}] \quad [3.41]$$

specifieke enthalpie $h_{\text{lucht}} = (1,005 T_{\text{lucht}} + x(2491 + 1,926 T_{\text{lucht}})) \cdot 10^3$ [J/kgK] [3.43]

maximale waterdampspanning $p_{wd,max} = 813 e^{\frac{T_{\text{lucht}}}{17,6}} - 200$ [Pa] [3.44]

natte boltemperatuur $T_{nb} = 27,8 \ln \frac{h_{\text{lucht}} + 36000}{45500}$ [3.45]

relatieve vochtigheid $\varphi = \frac{p_{wd}}{p_{wd,max}} \cdot 100\%$ [3.46]

dichtheid $\rho_{\text{lucht}} = 219,6 \frac{x}{(T_{\text{lucht}} + 273,15) \cdot (0,622 + x)}$ [3.47]

Algemene balansvergelijkingen

$$\text{massabalans} \quad \Phi_{m,\text{in}} - \Phi_{m,\text{uit}} + \Phi_{m,\text{prod}} = \frac{dm_{\text{sys}}}{dt} \quad [\text{kg/s}] \quad [4.5]$$

$$\text{impulsbalans} \quad \Phi_{m,\text{in}} v_{\text{in}} - \Phi_{m,\text{uit}} v_{\text{uit}} + \sum F = \frac{d(mv)_{\text{sys}}}{dt} \quad [\text{N}] \quad [4.6]$$

$$\text{impulsmomentbalans} \quad \Phi_{m,\text{in}} v_{\text{in}} xR_{\text{in}} - \Phi_{m,\text{uit}} v_{\text{uit}} xR_{\text{uit}} + \sum M = \frac{d(mv \times R)_{\text{sys}}}{dt} \quad [\text{Nm}] \quad [4.7]$$

$$\text{energiebalans} \quad \Phi_{m,\text{in}} e_{\text{in}} - \Phi_{m,\text{uit}} e_{\text{uit}} + \Phi_w + \Phi_{w,\text{prod}} - P = \frac{dE_{\text{sys}}}{dt} \quad [\text{W}] \quad [4.8]$$

Gesloten systemen

$$\text{Eerste hoofdwet voor een gesloten systeem} \quad Q = \Delta U + W \quad [\text{J}] \quad [5.2]$$

$$dQ = dH - Vdp \quad [\text{J}] \quad [5.5]$$

$$mc dT = mc_p dT - Vdp \quad [\text{J}] \quad [5.6]$$

Kringprocessen

$$\text{netto arbeid} \quad W_{\text{nt}} = \sum W = \sum Q \quad [5.23]$$

$$\text{specifieke netto arbeid} \quad w_{\text{nt}} = \frac{W_{\text{nt}}}{m} \quad [6.1]$$

$$\text{specifiek netto vermogen} \quad P_{\text{nt}} = \Phi_m w_{\text{nt}} \quad [6.2]$$

Open systemen

Eerste hoofdwet voor open systemen

$$Q = \Delta H + \Delta E_k + \Delta E_p + W_t \quad [\text{J}] \quad [7.1]$$

$$Q = \Delta U + \Delta E_k + \Delta E_p + W \quad [\text{J}] \quad [7.2] \quad \text{met} \quad W = W_t + p_{\text{uit}} V_{\text{uit}} - p_{\text{in}} V_{\text{in}} \quad [7.3]$$

$$q = \Delta h + \Delta e_k + \Delta e_p + w_t \quad [\text{J/kg}] \quad [7.4]$$

$$\Phi_w = \Phi_m (\Delta h + \Delta e_k + \Delta e_p) + P_t \quad [\text{W}] \quad [7.5]$$

Prestatiecoëfficiënten

$$\eta_m = \frac{W_{af}}{W_{toe}} \quad [-] \quad [4.12]$$

$$\text{COP} = \frac{E_{nt}}{E_{offers}} \quad [-] \quad [4.14]$$

$$\text{PER} = \frac{E_{nt}}{E_{pr}} \quad [-] \quad [4.16]$$

thermische rendementen

$$\eta_{th} = \frac{W_{nt}}{Q_{toe}} \quad [-] \quad [4.13]$$

$$\eta_{th} = 1 - \frac{Q_{af}}{Q_{toe}} \quad [6.4]$$

$$\text{omkeerbaar proces} \quad \eta_{th} = 1 - \frac{T_{laag,gem}}{T_{hoog,gem}} \quad [8.24]$$

$$\eta_{th,Carnot} = 1 - \frac{T_{laag}}{T_{hoog}} \quad [6.5]$$

$$\eta_{th,Otto} = 1 - \frac{1}{\epsilon^{k-1}} \quad [6.7] \quad \text{met} \quad \epsilon = \frac{V_{max}}{V_{min}} \quad [6.6]$$

$$\eta_{th,Seiliger} = 1 - \frac{1}{\epsilon^{k-1}} \cdot \frac{a \cdot b^k - 1}{k \cdot a \cdot (b-1) + a - 1} \quad [6.8]$$

$$\eta_{th,Joule} = \eta_{th,Brayton} = 1 - \frac{1}{\pi^{\frac{k-1}{k}}} \quad [6.11] \quad \text{met} \quad \pi = \frac{p_{hoog}}{p_{laag}} \quad [6.9]$$

$$\text{optimale drukverhouding bij Jouleproces} \quad \pi_{opt} = \left(\frac{T_{hoog}}{T_{laag}} \right)^{\frac{k}{2(k-1)}} \quad [6.13]$$

$$\eta_{th,Stirling} = 1 - \frac{T_{laag}}{T_{hoog}} \quad [6.15]$$

isentropische rendementen*turbine*

$$\eta_{\text{is,turb}} = \frac{W_{\text{turb,werk}}}{W_{\text{turb,theor}}} = \frac{H_{\text{in}} - H_{\text{uit}}}{H_{\text{in}} - H_{\text{uit,omk}}} \quad [8.1]$$

$$\eta_{\text{is,turb}} = \frac{h_{\text{in}} - h_{\text{uit}}}{h_{\text{in}} - h_{\text{uit,omk}}} \quad [8.2]$$

$$\eta_{\text{is,turb}} = \frac{h_{\text{in}} - h_{\text{uit}}}{h_{\text{in}} - h_{\text{uit,omk}}} = \frac{c_p (T_{\text{in}} - T_{\text{uit}})}{c_p (T_{\text{in}} - T_{\text{uit,omk}})} = \frac{T_{\text{in}} - T_{\text{uit}}}{T_{\text{in}} - T_{\text{uit,omk}}} \quad [8.3]$$

compressor

$$\eta_{\text{is,compr}} = \frac{W_{\text{compr,theor}}}{W_{\text{compr,werk}}} \quad [8.4]$$

$$\eta_{\text{is,compr}} = \frac{h_{\text{uit,omk}} - h_{\text{in}}}{h_{\text{uit}} - h_{\text{in}}} \quad [8.5]$$

$$\eta_{\text{is,compr}} = \frac{T_{\text{uit,omk}} - T_{\text{in}}}{T_{\text{uit}} - T_{\text{in}}} \quad [8.6]$$

koudefactor

$$\varepsilon = \frac{q_{\text{toe}}}{w_{\text{nt}}} \quad [-] \quad [6.16]$$

$$\varepsilon_{\text{Carnot}} = \frac{q_{\text{toe}}}{w_{\text{nt}}} = \frac{T_{\text{laag}}}{T_{\text{hoog}} - T_{\text{laag}}} \quad [6.19]$$

$$\varepsilon_{\text{Joule}} = \frac{q_{\text{toe}}}{w_{\text{nt}}} = \frac{1}{\pi^{\frac{k-1}{k}} - 1} \quad [6.21]$$

warmteproductiegetal

$$\varepsilon_w = \frac{q_{\text{af}}}{w_{\text{nt}}} \quad [-] \quad [6.17]$$

$$\varepsilon_w = \varepsilon + 1 \quad [6.18]$$

$$\varepsilon_{w,\text{Carnot}} = \frac{q_{\text{af}}}{w_{\text{nt}}} = \frac{T_{\text{hoog}}}{T_{\text{hoog}} - T_{\text{laag}}} \quad [6.20]$$

Toestandsveranderingen

gassen

polytroop

$$pV^n = C \quad [5.7] \quad \text{of} \quad \frac{p}{\rho^n} = C \quad [5.7a]$$

$$TV^{n-1} = C \quad [5.8] \quad \text{of} \quad \frac{T}{\rho^{n-1}} = C \quad [5.8a]$$

$$\frac{T^n}{p^{n-1}} = C \quad [5.9]$$

en

$$W = \frac{-1}{n-1}(p_2V_2 - p_1V_1) \quad [J] \quad [5.10]$$

$$\text{of} \quad W = \frac{-mR_s}{n-1}(T_2 - T_1) \quad [5.11]$$

en

$$Q = mc(T_2 - T_1) \quad [J] \quad [3.4]$$

met

$$c = c_v - \frac{R_s}{n-1} \quad [J/kgK] \quad [5.12]$$

$$n = \frac{c - c_p}{c - c_v} \quad [-] \quad [5.13]$$

$$Q = \frac{k-n}{k-1} W \quad [5.14]$$

isobaar

$$p = C$$

$$n = 1 \quad \text{en} \quad c = c_p$$

$$W = p(V_2 - V_1) \quad [5.15]$$

$$Q = mc_p(T_2 - T_1) \quad [5.16]$$

isochoor

$$V = C$$

$$n = \infty \text{ en } c = c_V$$

$$W = 0 \quad [5.17]$$

$$Q = mc_V(T_2 - T_1) \quad [5.18]$$

isentrop

$$pV^k = C \quad [5.19]$$

$$n = k \text{ en } c = 0$$

$$k = \frac{c_p}{c_V} \quad [5.20]$$

$$W = \frac{-1}{k-1}(p_2V_2 - p_1V_1) = -mc_V(T_2 - T_1) \quad [5.21]$$

$$Q = 0 \quad [5.22]$$

isotherm

$$pV = C$$

$$n = 1 \text{ en } c = \infty$$

$$W = Q = mR_s T \ln \left(\frac{V_2}{V_1} \right) \quad [5.23] \quad \text{of} \quad W = Q = -mR_s T \ln \left[\frac{p_2}{p_1} \right] \quad [5.24]$$

Werktuigen en installatieonderdelen

pomp

algemeen

$$P_{\text{pomp}} = \Phi_V \Delta p_{\text{pomp}} \quad [\text{W}] \quad [7.7]$$

$$W_{\text{pomp}} = V \Delta p_{\text{pomp}} \quad [\text{J}] \quad [7.8]$$

$$w_{\text{pomp}} = v \Delta p_{\text{pomp}} \quad [\text{J/kg}] \quad [7.9]$$

$$w_{\text{pomp}} = h_{\text{uit}} - h_{\text{in}} \quad [7.10]$$

centrifugaalpomp

$$P = \Phi_m (c_{2,\text{tan}} \cdot u_2 - c_{1,\text{tan}} \cdot u_1) \quad [10.16]$$

$$\Phi_V = c_{2,\text{rad}} \cdot \pi \cdot D_2 \cdot b_2 \quad [10.17]$$

$$\Delta p_{\text{pomp}} = \rho \cdot u_2 \left(u_2 - \frac{\Phi_V}{\tan(\beta_2) \cdot 2\pi R_2 \cdot b_2} \right) \quad [10.18]$$

$$\Phi_V = C \cdot n \quad [10.19]$$

$$\Delta p_{\text{pomp}} = C \cdot n^2 \quad [10.20]$$

$$P_{\text{pomp}} = C \cdot n^3 \quad [10.21]$$

$$\Phi_V = C \cdot D^3 \quad [10.22]$$

$$\Delta p_{\text{pomp}} = C \cdot D^2 \quad [10.23]$$

$$P_{\text{pomp}} = C \cdot D^5 \quad [10.24]$$

straalbuis

$$v_{\text{uit}} = \sqrt{2(h_{\text{in}} - h_{\text{uit}})} \quad [7.11]$$

smoorvoorziening

$$h_{\text{uit}} = h_{\text{in}} \quad [7.12]$$

warmtewisselaar

$$\Phi_{m,k} (h_{k,uit} - h_{k,in}) = \Phi_{m,w} (h_{w,in} - h_{w,uit}) \quad [7.14]$$

$$\Phi_{m,k} c_{p,k} (T_{k,uit} - T_{k,in}) = \Phi_{m,w} c_{p,w} (T_{w,in} - T_{w,uit}) \quad [7.15]$$

$$\Phi_w = UA \Delta T_{gem} \Rightarrow A = \frac{\Phi_w}{U \Delta T_{gem}} \quad [13.26] \text{ met } \Delta T_{gem} = \Delta T_{ln} = \frac{\Delta T_a - \Delta T_b}{\ln \frac{\Delta T_a}{\Delta T_b}} \quad [13.27]$$

$$\text{temperatuurrendement opwarmend fluïdum } \eta_k = \frac{T_{2u} - T_{2i}}{T_{1i} - T_{2i}} \quad [13.28]$$

$$\text{temperatuurrendement afkoelend fluïdum } \eta_w = \frac{T_{1i} - T_{1u}}{T_{1i} - T_{2i}} \quad [13.29]$$

tegenstroomwarmtewisselaar

$$\eta_k = \frac{1 - e^{-x(1-y)}}{1 - y \cdot e^{-x(1-y)}} \quad [13.30] \quad \text{en} \quad \eta_w = y \cdot \eta_k \quad [13.31]$$

$$\text{waarin } x = \frac{UA}{\Phi_{m2} c_2} \quad [13.32] \quad \text{en} \quad y = \frac{\Phi_{m2} c_2}{\Phi_{m1} c_1} \quad [13.33]$$

gelijkstroomwarmtewisselaar

$$\eta_k = \frac{1 - e^{-x(1+y)}}{1 + y} \quad [13.34] \quad \text{en} \quad \eta_w = y \cdot \eta_k \quad [13.31]$$

$$\text{verdampend medium } \eta_w = 1 - e^{-\frac{UA}{\Phi_{mw} c_w}} \quad [13.37] \quad \text{en} \quad \eta_k = 0 \quad [13.36]$$

$$\text{condenserend medium } \eta_k = 1 - e^{-x} \quad [13.35] \quad \text{en} \quad \eta_w = 0$$

ketel

$$\Phi_{w,ketel} = \Phi_m (h_{uit} - h_{in}) \quad [7.16]$$

$$q_{ketel} = h_{uit} - h_{in} \quad [7.17]$$

waterturbine

$$P_{wt} = -\Phi_m \Delta \left(\frac{1}{2} v^2 \right) \quad [7.18]$$

compressor

Toestands- verandering	Compressor- vermogen $P_{\text{compr}} =$	Compressor- arbeid $W_{\text{compr}} =$	Specifieke compressorarbeid $w_{\text{compr}} =$
Adiabaat	$\Phi_m (h_{\text{uit}} - h_{\text{in}})$ [7.19]	$H_{\text{uit}} - H_{\text{in}}$ [7.19a]	$h_{\text{uit}} - h_{\text{in}}$ [7.19b]
	$\Phi_m c_p (T_{\text{uit}} - T_{\text{in}})$ [7.20]	$m c_p (T_{\text{uit}} - T_{\text{in}})$ [7.20a]	$c_p (T_{\text{uit}} - T_{\text{in}})$ [7.20b]
Polytroop ideaal gas	$\frac{n}{n-1} \Phi_m R_s (T_{\text{uit}} - T_{\text{in}})$ [7.21]	$\frac{n}{n-1} m R_s (T_{\text{uit}} - T_{\text{in}})$ [7.21a]	$\frac{n}{n-1} R_s (T_{\text{uit}} - T_{\text{in}})$ [7.21b]
	$\frac{n}{n-1} (p_{\text{uit}} \Phi_{V,\text{uit}} - p_{\text{in}} \Phi_{V,\text{in}})$ [7.22]	$\frac{n}{n-1} (p_{\text{uit}} V_{\text{uit}} - p_{\text{in}} V_{\text{in}})$ [7.22a]	$\frac{n}{n-1} (p_{\text{uit}} v_{\text{uit}} - p_{\text{in}} v_{\text{in}})$ [7.22b]
	$\frac{n}{n-1} \Phi_m R_s T_{\text{in}} \left\{ \left(\frac{p_{\text{uit}}}{p_{\text{in}}} \right)^{\frac{n-1}{n}} - 1 \right\}$ [7.23]	$\frac{n}{n-1} m R_s T_{\text{in}} \left\{ \left(\frac{p_{\text{uit}}}{p_{\text{in}}} \right)^{\frac{n-1}{n}} - 1 \right\}$ [7.23a]	$\frac{n}{n-1} R_s T_{\text{in}} \left\{ \left(\frac{p_{\text{uit}}}{p_{\text{in}}} \right)^{\frac{n-1}{n}} - 1 \right\}$ [7.23b]
Isotherm ideaal gas	$\Phi_m R_s T_{\text{in}} \ln \left(\frac{p_{\text{uit}}}{p_{\text{in}}} \right)$ [7.24]	$m R_s T_{\text{in}} \ln \left(\frac{p_{\text{uit}}}{p_{\text{in}}} \right)$ [7.24a]	$R_s T_{\text{in}} \ln \left(\frac{p_{\text{uit}}}{p_{\text{in}}} \right)$ [7.24b]

turbine

$$P_{\text{turb}} = \Phi_m (h_{\text{in}} - h_{\text{uit}}) \quad [7.31]$$

$$w_{\text{turb}} = h_{\text{in}} - h_{\text{uit}} \quad [7.31a]$$

$$P_{\text{turb}} = \frac{n}{n-1} \Phi_m R_s T_{\text{in}} \left\{ 1 - \left(\frac{p_{\text{uit}}}{p_{\text{in}}} \right)^{\frac{n-1}{n}} \right\} \quad [7.32]$$

$$P_{\text{turb}} = \Phi_m R_s T_{\text{in}} \ln \left(\frac{p_{\text{in}}}{p_{\text{uit}}} \right) \quad [7.33]$$

straalmotor

$$\text{stuwkrachtvermogen } P_{\text{stuw}} = \Phi_m (v_{\text{uit}} - v_{\text{in}}) \cdot v_{\text{in}} \quad [10.13]$$

$$\text{voortstuwingsrendement } \eta_{\text{stuw}} = \frac{2 \cdot v_{\text{in}}}{v_{\text{uit}} + v_{\text{in}}} \quad [10.14]$$

gasturbine

$$w_{\text{nt}} = w_{\text{turb}} - w_{\text{compr}}$$

verbrandingskamer gasturbine

$$q_{\text{verbrandingskamer}} = h_{\text{uit}} - h_{\text{in}}$$

verdampers

$$q_{\text{verdampers}} = h_{\text{uit}} - h_{\text{in}}$$

condensator

$$q_{\text{condensator}} = h_{\text{in}} - h_{\text{uit}}$$

Stromingsleer

volumestroom

$$\Phi_V = \int_A v dA \quad [\text{m}^3/\text{s}] \quad [10.4]$$

massabalans stationaire toestand

$$\rho_{\text{uit}} \cdot v_{\text{uit}} \cdot A_{\text{uit}} = \rho_{\text{in}} \cdot v_{\text{in}} \cdot A_{\text{in}} \quad [\text{m}^3/\text{s}] \quad [10.1]$$

impulsbalans stationaire toestand

$$\sum F = \Phi_m (v_{\text{uit}} - v_{\text{in}}) \quad [\text{N}] \quad [10.11]$$

$$\sum F = p_{\text{in}} A_{\text{in}} - p_{\text{uit}} A_{\text{uit}} + \sum F_{\text{wand}} \quad [\text{N}] \quad [10.12]$$

impulsmomentbalans stationaire toestand

$$\sum M = \Phi_m (v_{\text{uit}} x R_{\text{uit}} - v_{\text{in}} x R_{\text{in}}) \quad [\text{Nm}] \quad [10.15]$$

energiebalans stationaire toestand

$$h_{\text{uit}} + \frac{1}{2} v_{\text{uit}}^2 + g z_{\text{uit}} = h_{\text{in}} + \frac{1}{2} v_{\text{in}}^2 + g z_{\text{in}} \quad [\text{J}/\text{kgK}] \quad [10.2]$$

onsamendrukbaar

$$\Phi_{V,\text{uit}} = \Phi_{V,\text{in}} \quad [10.3a] \quad \text{of} \quad \int_{A_{\text{uit}}} v_{\text{uit}} dA_{\text{uit}} = \int_{A_{\text{in}}} v_{\text{in}} dA_{\text{in}} \quad [10.5]$$

$$\text{constante snelheid} \quad v_{\text{uit}} A_{\text{uit}} = v_{\text{in}} A_{\text{in}} \quad [10.3]$$

stroming zonder wrijving

$$\text{wet van Bernoulli} \quad p_{\text{uit}} + \frac{1}{2} \rho v_{\text{uit}}^2 + \rho g z_{\text{uit}} = p_{\text{in}} + \frac{1}{2} \rho v_{\text{in}}^2 + \rho g z_{\text{in}} \quad [\text{N}/\text{m}^2] \quad [10.6]$$

stroming met wrijving

stroming in een buis

$$p_{\text{uit}} + \frac{1}{2} \rho v_{\text{uit}}^2 + \rho g z_{\text{uit}} + \Delta p_w = p_{\text{in}} + \frac{1}{2} \rho v_{\text{in}}^2 + \rho g z_{\text{in}} \quad [12.1]$$

$$\text{met} \quad \Delta p_w = \sum \zeta \frac{1}{2} \rho v^2 \quad [12.2] \quad \text{en weerstandscoefficiënt} \quad \zeta = \lambda \frac{l}{D} \quad [12.4]$$

$$\lambda = \frac{64}{Re} \quad (Re < 2300) \quad [12.8]$$

$$\frac{1}{\sqrt{\lambda}} = -0,86 \cdot \ln \left(\frac{\varepsilon}{3,7} + \frac{2,51}{Re\sqrt{\lambda}} \right) \quad (Re > 2300) \quad [12.14]$$

waarin

$$\text{relatieve wandruwheid } \varepsilon = \frac{e}{D} \quad [-] \quad [12.7] \quad \text{en}$$

$$\text{kengetal van Reynolds } Re = \frac{\rho \cdot v \cdot D_h}{\eta} \quad [-] \quad [12.3] \quad \text{met}$$

$$\text{hydraulische diameter } D_{\text{hydr}} = 4 \frac{A}{O} \quad [\text{m}] \quad [12.5]$$

$$\text{Wet van Poiseuille } \Delta p_w = \frac{128 \cdot \eta \cdot l}{\pi \cdot D^4} \Phi_V \quad (Re < 2300) \quad [12.9]$$

stroming om een lichaam

$$\text{drukverliezen } \Delta p_w = C_w \frac{1}{2} \rho \cdot v^2 \quad [12.18]$$

gasstroming

$$\text{Wet van Bernoulli voor ideale gassen} \quad (Ma < 0,25 \text{ met } Ma = \frac{v}{a}) \quad [10.9]$$

$$\frac{k}{k-1} \frac{p_{\text{uit}}}{\rho_{\text{uit}}} + \frac{1}{2} v_{\text{uit}}^2 + gz_{\text{uit}} = \frac{k}{k-1} \frac{p_{\text{in}}}{\rho_{\text{in}}} + \frac{1}{2} v_{\text{in}}^2 + gz_{\text{in}} \quad [11.1]$$

geluidssnelheid

$$\text{algemeen } a = \sqrt{\frac{dp}{d\rho}} \quad [11.2]$$

$$\text{vaste stof en vloeistof } a = \sqrt{\frac{E}{\rho}} \quad [11.3]$$

$$\text{ideaal gas } a = \sqrt{k \frac{p}{\rho}} = \sqrt{k R_s T} \quad [11.4]$$

$$\text{massastroom } \Phi_m = A_2 \sqrt{\frac{2k}{k-1} p_1 \rho_1 \left(\pi^{\frac{2}{k}} - \pi^{\frac{k+1}{k}} \right)} \quad [11.5]$$

$$\text{kritische drukverhouding } \pi_{\text{kr}} = \left(\frac{2}{k+1} \right)^{\frac{k}{k-1}} \quad [11.6]$$

$$\text{snelheid } v = \sqrt{\frac{2k}{k-1} \left(\frac{p_1}{\rho_2} - \frac{p}{\rho} \right)} \quad [11.7]$$

Warmtebalansen

differentiële warmtebalansen

cartesiaanse coördinaten $\lambda \left[\frac{\partial^2 T}{\partial x^2} + \frac{\partial^2 T}{\partial y^2} + \frac{\partial^2 T}{\partial z^2} \right] + g = \rho c \frac{\partial T}{\partial t}$ [13.2]

cilindercoördinaten $\lambda \left[\frac{1}{r} \frac{\partial r}{\partial r} \frac{\partial T}{\partial r} + \frac{1}{r} \frac{\partial}{\partial \varphi} \frac{\partial T}{\partial \varphi} + \frac{\partial^2 T}{\partial z^2} \right] + g = \rho c \frac{\partial T}{\partial t}$ [13.3]

bolcoördinaten $\lambda \left[\frac{1}{r} \frac{\partial^2 r T}{\partial r^2} + \frac{1}{r \sin \theta} \frac{\partial \left(\sin \theta \frac{\partial T}{\partial \theta} \right)}{\partial \theta} + \frac{1}{r^2 \sin^2 \theta} \frac{\partial^2 T}{\partial \varphi^2} \right] + g = \rho c \frac{\partial T}{\partial t}$ [13.4]

Stationaire warmtetransport

vlakke wanden

Vlakke wand met opgelegde oppervlaktetemperaturen

$$\text{temperatuurverdeling} \quad T = T_{\text{opp},1} + \frac{T_{\text{opp},2} - T_{\text{opp},1}}{d} x \quad [13.11]$$

$$\text{warmtestroomdichtheid} \quad \varphi_w = \frac{\lambda}{d} (T_{\text{opp},1} - T_{\text{opp},2}) \quad [\text{W/m}^2] \quad [13.12]$$

vlakke wand met opgelegde fluidumtemperaturen

wand bestaat uit een materiaal laag

$$T = \frac{\left(\frac{1}{\alpha_2} + \frac{d-x}{\lambda}\right) T_{\text{fluidum},1} + \left(\frac{x}{\lambda} + \frac{1}{\alpha_1}\right) T_{\text{fluidum},2}}{\frac{1}{\alpha_1} + \frac{d}{\lambda} + \frac{1}{\alpha_2}} \quad [13.13] \text{ en}$$

$$\varphi_w = \frac{T_{\text{fluidum},1} - T_{\text{fluidum},2}}{\frac{1}{\alpha_1} + \frac{d}{\lambda} + \frac{1}{\alpha_2}} \quad [\text{W/m}^2] \quad [13.14]$$

$$\text{wand bestaat uit meerdere materiaal lagen} \quad \varphi_w = \frac{T_{\text{fluidum},1} - T_{\text{fluidum},2}}{\frac{1}{\alpha_1} + \sum \frac{d}{\lambda} + \frac{1}{\alpha_2}} \quad [13.17]$$

$$\Phi_w = UA\Delta T_{\text{gem}} \Rightarrow A = \frac{\Phi_w}{U\Delta T_{\text{gem}}} \quad [13.26]$$

$$U = \frac{1}{\frac{1}{\alpha_1} + \sum \frac{d}{\lambda} + \frac{1}{\alpha_2}} \quad [13.18]$$

leidingen

leiding met opgelegde fluidumtemperaturen

$$\Phi_w = \frac{T_{\text{fluidum},i} - T_{\text{fluidum},u}}{R_{\text{tot}}} \quad [13.17a]$$

$$\text{met} \quad R_{\text{tot}} = \frac{1}{\alpha_i} \cdot \frac{1}{2\pi R_1 l} + \sum_{j=1}^{i-n} \frac{1}{2\pi l \lambda} \ln \frac{R_{j+1}}{R_j} + \frac{1}{\alpha_u} \cdot \frac{1}{2\pi R_{n+1} l} \quad [13.25]$$

Instationair warmtetransport

Uniforme temperatuur

$$\frac{T - T_{\text{fluidum}}}{T_{t=0} - T_{\text{fluidum}}} = e^{-\frac{\alpha A_o}{\rho c V} t} \quad [14.2] \quad \left(Bi < 0,1 \text{ met } Bi = \frac{\alpha L_s}{\lambda} [14.1] \right)$$

$$\Phi_w = \alpha \cdot A_o \cdot (T_{\text{fluidum}} - T_{t=0}) \cdot e^{-\frac{\alpha A_o}{\rho c V} t} \quad [14.5]$$

halfoneindig medium

$$\frac{T - T_{t=0}}{T_{\text{fluidum}} - T_{t=0}} = 1 - \operatorname{erf}\left(\frac{x}{2\sqrt{at}}\right) \quad [14.6] \text{ met } \operatorname{erf}(y) = \frac{2}{\sqrt{\pi}} \int_0^y e^{-x^2} dx \quad [14.7]$$

$$\varphi_{w,\text{opp}} = \frac{\lambda}{\sqrt{\pi \cdot a \cdot t}} (T_{\text{fluidum}} - T_{t=0}) \quad [14.9] \text{ met } a = \frac{\lambda}{\rho c} \quad [14.8]$$

Differentiemethode voor stationaire warmtetransport

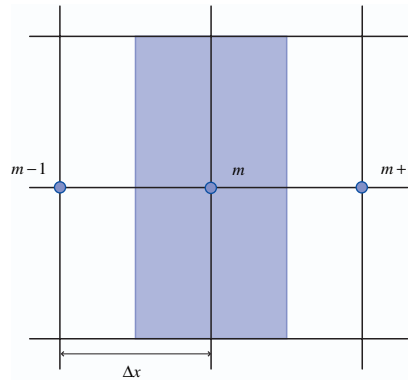
Eendimensionale modellen

inwendig knooppunt

$$T_{m-1} - 2T_m + T_{m+1} = -\frac{g\Delta x^2}{\lambda} \quad [13.38]$$

$$\Phi_{w,mm-1} = \frac{T_m - T_{m-1}}{R_{m,m-1}}$$

waarin: $R_{m,m-1} = \frac{\Delta x}{\lambda A}$

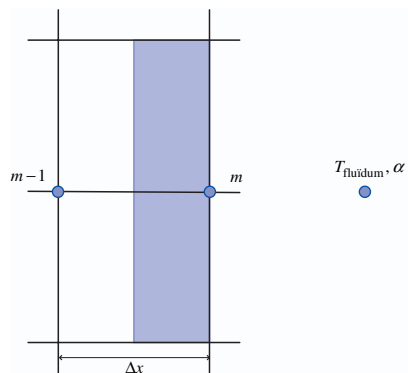


extern knooppunt

$$-\left(\alpha + \frac{\lambda}{\Delta x}\right)T_m + \frac{\lambda}{\Delta x}T_{m-1} = -\alpha T_{\text{fluidum}} - g\frac{\Delta x}{2} \quad [13.39]$$

Voor de warmtestroom van een knooppunt m naar een fluidum kunnen we schrijven

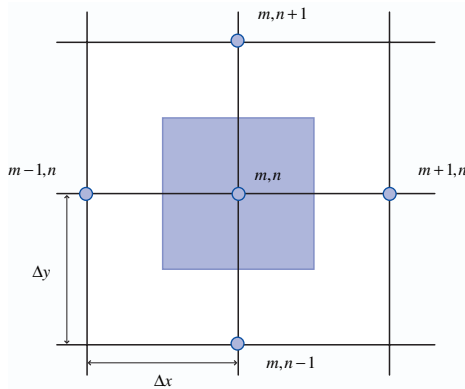
$$\Phi_{w,m\text{fluidum}} = \frac{T_m - T_{\text{fluidum}}}{R_{m,\text{fluidum}}} \quad \text{met} \quad R_{m,\text{fluidum}} = \frac{1}{\alpha A}$$



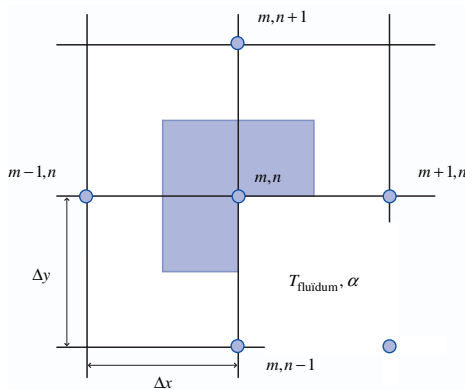
Tweedimensionale modellen

inwendig knooppunt

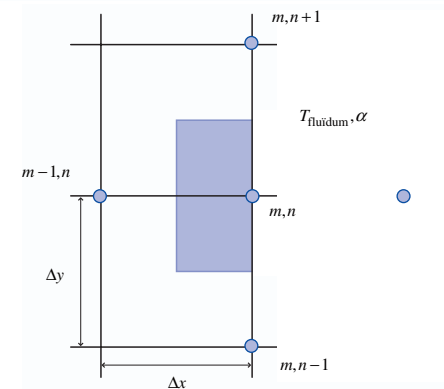
$$T_{m,n+1} + T_{m,n-1} + T_{m+1,n} + T_{m-1,n} - 4T_{m,n} = 0 \quad [13.42]$$

*extern knooppunt op een intern hoekpunt met convectie naar de omgeving*

$$2(T_{m-1,n} + T_{m,n+1}) + T_{m+1,n} + T_{m,n-1} + 2BiT_{\text{fluidum}} - 2(3 + Bi)T_{m,n} = 0 \quad [13.43]$$

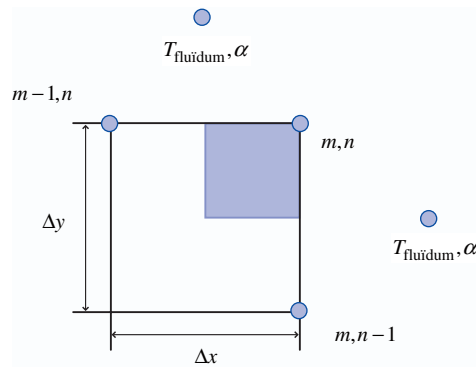
*extern knooppunt op een vlak met convectie naar de omgeving*

$$2T_{m-1,n} + T_{m,n+1} + T_{m,n-1} + 2BiT_{\text{fluidum}} - 2(Bi + 2)T_{m,n} = 0 \quad [13.44]$$



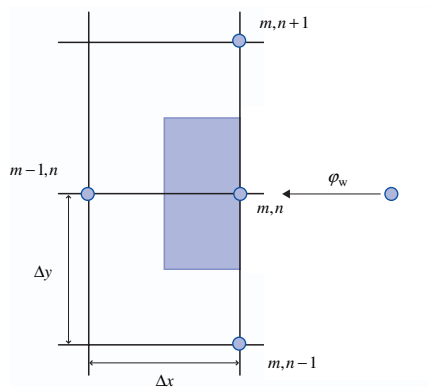
extern knooppunt op een extern hoekpunt met convectie naar de omgeving

$$T_{m,n-1} + T_{m-1,n} + 2BiT_{\text{fluidum}} - 2(Bi + 1)T_{m,n} = 0 \quad [13.45]$$



extern knooppunt op een vlak met bekende externe warmtevoer vanuit de omgeving

$$2T_{m-1} + T_{m,n+1} + T_{m,n-1} + \frac{2\Delta x}{\lambda} \varphi_w - 4T_{m,n} = 0 \quad [13.46]$$

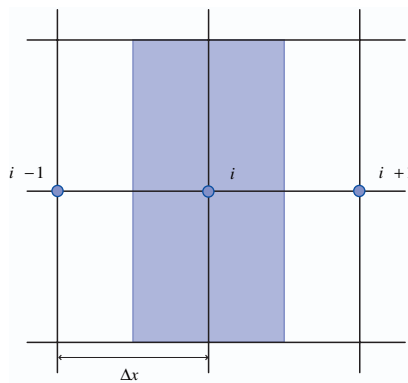


Differentiemethode voor instationaire warmtetransport

Eendimensionale modellen

intern knooppunt

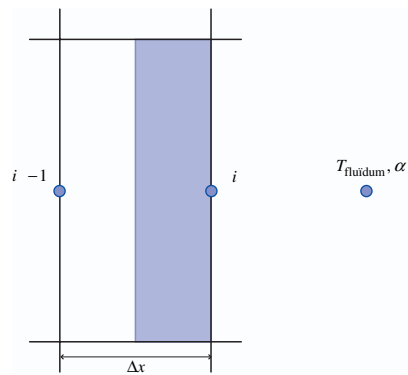
$$T_i^{k+1} = FoT_{i-1}^k + (1 - 2Fo)T_i^k + FoT_{i+1}^k \quad [14.10]$$



extern knooppunt

$$T_i^{k+1} = 2FoBiT_{\text{fluidum}}^k + (1 - 2FoBi - 2Fo)T_i^k + 2FoT_{i+1}^k \quad [14.11]$$

met: $Fo = \frac{\lambda}{\rho c} \frac{\Delta t}{\Delta x^2}$ [14.12]



Convectieve warmteoverdracht

gedwongen convectie

$$Nu = f(Re, Pr) \quad [15.1]$$

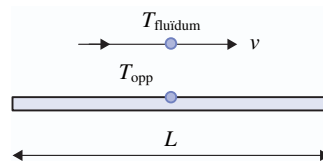
$$\text{kengetal van Nusselt } Nu = \frac{\alpha_c L_s}{\lambda} \quad [-] \quad [15.2]$$

$$\text{kengetal van Reynolds } Re = \frac{\rho \cdot v \cdot L_s}{\eta} \quad [-] \quad [15.3]$$

$$\text{kengetal van Prandtl } Pr = \frac{\eta \cdot c_p}{\lambda} \quad [-] \quad [15.4]$$

Voor de stoffeigenschappen moeten de eigenschappen bij de filmtemperatuur gehanteerd worden.

vlak oppervlak



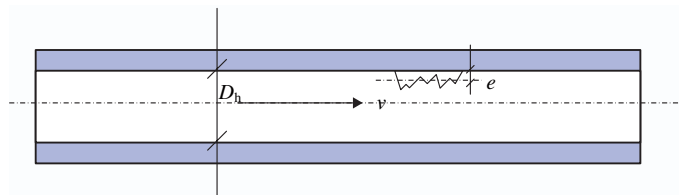
$$Nu = 0,664 \cdot Re^{1/2} Pr^{1/3} \quad [15.7]$$

geldig voor $Re < 5 \cdot 10^5$ en $Pr > 0,6$

$$Nu = (0,037 \cdot Re^{4/5} - 871) \cdot Pr^{1/3} \quad [15.8]$$

geldig voor $Pr < 60$ en $5 \cdot 10^5 < Re_L < 10^7$

in een rechte, cilindervormige buis



Bij een constante wandtemperatuur kunnen we hanteren

$$Nu = 3,66 \quad [15.9] \quad (Re < 2300)$$

en bij een constante warmtestroom

$$Nu = 4,36 \quad [15.10] \quad (Re < 2300)$$

In beide gevallen worden de stoffeigenschappen bepaald bij de fluidumtemperatuur.

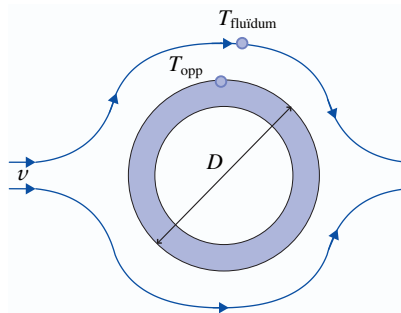
$$Nu = 0,023 \cdot Re^{0,8} Pr^n \quad [15.11] \quad 2300 < Re < 1,25 \cdot 10^6 \quad \text{en} \quad 0,6 < Pr < 160$$

met

$n = 0,4$ bij verwarming van het fluïdum

$n = 0,3$ bij koeling van het fluïdum

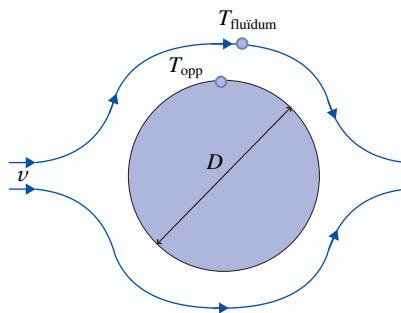
dwars op een rechte cilinder



$$Nu = 0,3 + \frac{0,62 \cdot Re^{1/2} Pr^{1/3}}{\left(1 + \left(\frac{0,4}{Pr}\right)^{2/3}\right)^{1/4}} \left(1 + \left(\frac{Re}{282000}\right)^{5/8}\right)^{4/5} \quad [5.14]$$

geldig voor $100 < Re < 10^7$ en $Re \cdot Pr > 0,2$

bol



$$Nu = 2 + (0,4Re^{1/2} + 0,06Re^{2/3}) Pr^{0,4} \left(\frac{\eta_{\text{fluidum}}}{\eta_{\text{opp}}}\right)^{1/4} \quad [5.16]$$

geldig voor $0,71 < Pr < 380$; $3,5 < Re < 76\,000$ en $1 < \frac{\eta_{\text{fluidum}}}{\eta_{\text{opp}}} < 3,2$

Voor de stoffeïenschappen moeten de eïenschappen bij de filmtemperatuur gehanteerd worden.

Convectieve warmteoverdracht

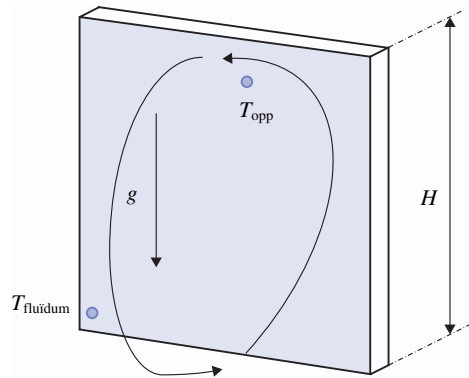
natuurlijke convectie

$$Nu = f(Gr, Pr) \quad [15.19]$$

$$\text{kengetal van Grashof } Gr = \frac{\rho \cdot \Delta\rho g \cdot L^3}{\eta^2} = \frac{\beta \cdot |T_{\text{opp}} - T_{\text{fluidum}}| \cdot g \cdot L_s^3 \cdot \rho^2}{\eta^2} \quad [15.20]$$

Voor de stoffeigenschappen moeten de eigenschappen bij de filmtemperatuur gehanteerd worden.

verticaal, vlak oppervlak



$$Nu = \left(0,825 + \frac{0,387 \cdot Ra^{1/6}}{\left(1 + (0,492 / Pr)^{9/16}\right)^{8/17}} \right)^2 \quad [15.24]$$

geldig voor $10^{-1} < Ra < 10^{12}$

$$Nu = 0,59 \cdot Ra^{1/4} \quad [15.25] \quad (10^4 < Ra < 10^9)$$

$$Nu = 0,10 \cdot Ra^{1/3} \quad [15.26] \quad (10^9 < Ra < 10^{13})$$

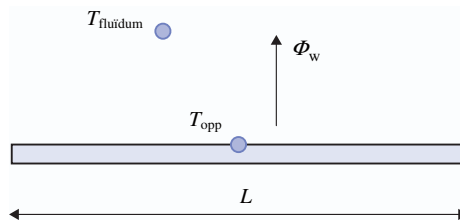
horizontaal, vlak oppervlak

Bij horizontale oppervlakken wordt er onderscheid gemaakt tussen warmtestroom tegen de zwaartekracht in of met de zwaartekracht mee.

Warmtestroom naar beneden

$$Nu = 0,27 \cdot Ra^{1/4} \quad [15.29] \quad (10^5 < Ra < 10^{10})$$

Warmtestroom naar boven



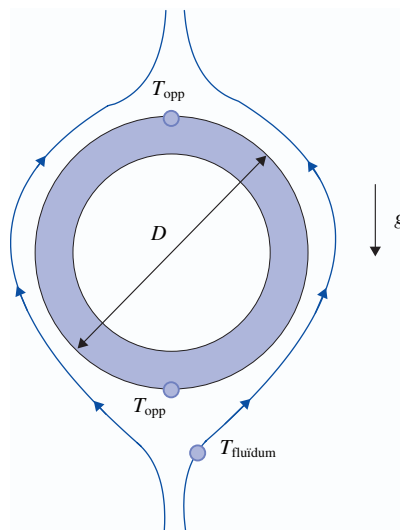
$$Nu = 0,54 \cdot Ra^{1/4} \quad [15.27]$$

$$(10^4 < Ra < 10^7)$$

$$Nu = 0,15 \cdot Ra^{1/3} \quad [15.28]$$

$$Ra > 10^7$$

horizontale cilinder



$$Nu = \left(0,6 + \frac{0,387 \cdot Ra^{1/6}}{\left(1 + (0,559 / Pr)^{9/16} \right)^{8/27}} \right)^2 \quad [15.32]$$

$$(10^{-5} < Ra < 10^{13})$$

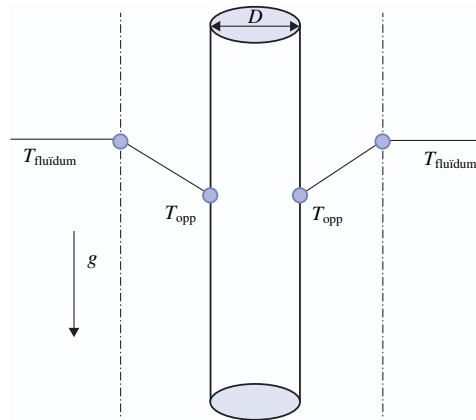
$$Nu = 0,48 \cdot Ra^{1/4} \quad [15.33]$$

$$(10^4 < Ra < 10^7)$$

$$Nu = 0,125 \cdot Ra^{1/3} \quad [15.34]$$

$$(10^7 < Ra > 10^{12})$$

verticale cilinder



$$Nu = \left(0,825 + \frac{0,387 \cdot Ra^{1/6}}{\left(1 + (0,492 / Pr)^{9/16}\right)^{8/17}} \right)^2 \quad [15.36]$$

wanneer $\frac{D}{L} \geq \frac{35}{Gr^{1/4}}$ [15.35]

geldig voor $10^{-1} < Ra < 10^{12}$

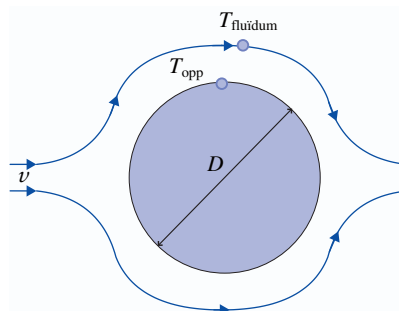
$$Nu = 0,59 \cdot Ra^{1/4} \quad [15.37] \quad (10^4 < Ra < 10^9)$$

$$Nu = 0,10 \cdot Ra^{1/3} \quad [15.38] \quad (10^9 < Ra < 10^{12})$$

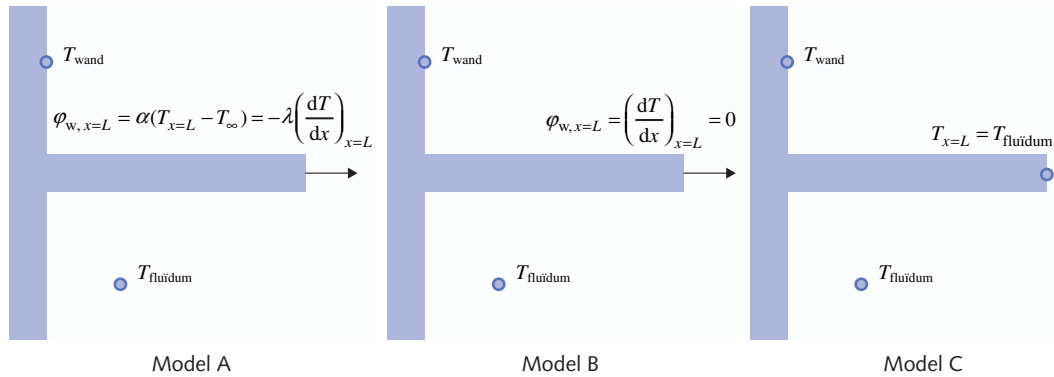
bol

$$Nu = 2 + \frac{0,589 \cdot Ra^{1/4}}{\left(1 + (0,469 / Pr)^{9/16}\right)^{4/9}} \quad [15.39]$$

$Ra < 10^{11}$
 $Pr > 0,5$



Vinnen



Model	Tipvoorwaarde	Temperatuurverloop in vin	Warmtestroom van vin
A	Convectievoorwaarde $\alpha\theta_{x=L} = -\lambda \left(\frac{d\theta}{dx} \right)_{x=L}$	$\frac{\cosh m(L-x) + \left(\frac{\alpha}{m\lambda} \right) \sinh m(L-x)}{\cosh mL + \left(\frac{\alpha}{m\lambda} \right) \sinh mL}$ [15.40]	$M \frac{\sinh mL + \frac{\alpha}{m\lambda} \cosh mL}{\cosh mL + \frac{\alpha}{m\lambda} \sinh mL}$ [15.41]
B	Adiabatische randvoorwaarde $\left(\frac{dT}{dx} \right)_{x=L} = 0$	$\frac{\cosh m(L-x)}{\cosh mL}$ [15.42]	$M \tanh mL$ [15.43]
C	Oneindig lange vin $\theta_{x=L} = 0$	e^{-mx} [15.44]	M

Met $m = \sqrt{\frac{\alpha O}{\lambda A}}$ [15.45], $M = \sqrt{\alpha O \lambda A} \cdot \theta_{x=0}$ [15.46], $\theta = T - T_{\text{fluidum}}$ en

$$\theta_{x=0} = T_{\text{wand}} - T_{\text{fluidum}}$$

vinrendement

$$\eta_{\text{vin}} = \frac{\Phi_{w, \text{vin}}}{\Phi_{w, \text{ideaal}}} \quad [15.47]$$

$$\text{waarin } \Phi_{w, \text{ideaal}} = \alpha O L \theta_{x=0} \quad [15.48]$$

$$\text{vaste doorsnede } \eta_{\text{vin}} = \frac{\tanh(mL_c)}{mL_c} \quad [15.49]$$

vineffect

$$\varepsilon_{\text{vin}} = \frac{\Phi_{\text{w,vin}}}{\Phi_{\text{w,zonder vinnen}}}$$

vaste doorsnede $\varepsilon_{\text{vin}} = \sqrt{\frac{\lambda O}{\alpha A}} \tanh(mL)$ [15.52]

Straling

warmtevergelijkingen

$$a + r + t = 1 \quad [16.3]$$

$$E_z = \sigma \cdot T^4 \quad [16.5]$$

warmtestroom tussen twee grijze oppervlakken $\Phi_{w12,netto} = \frac{\sigma \cdot A \cdot (T_1^4 - T_2^4)}{\frac{1}{\epsilon_1} + \frac{1}{\epsilon_2} - 1}$ [16.13]

zichtfactoren

$$F_{12} = \frac{1}{A_1} \int_{A_1} \int_{A_2} \frac{\cos \beta_1 \cdot \cos \beta_2}{\pi \cdot s^2} dA_1 dA_2 \quad [16.19]$$

$$F_{12} \cdot A_1 = F_{21} \cdot A_2 \quad [16.15]$$

som van de zichtfactoren van een oppervlak $\sum_{j=1}^{j=n} F_{ij} = 1$ [16.16]

een door oppervlak 2 omsloten oppervlak 1 $F_{21} = \frac{A_1}{A_2}$ [16.17]

en $F_{22} = 1 - \frac{A_1}{A_2}$ [16.18]

netwerkmethode

netto warmtestroom van een oppervlak

$$\Phi_{wi,netto} = \frac{E_{zi} - J_i}{R_i} \quad [16.27] \quad \text{met} \quad R_i = \frac{1 - \epsilon_i}{\epsilon_i \cdot A_i} \quad [16.28]$$

netto warmtestroom tussen twee oppervlakken

$$\Phi_{wij,netto} = \frac{J_i - J_j}{R_{ij}} \quad [16.29] \quad \text{met} \quad R_{ij} = \frac{1}{F_{ij} \cdot A_i} \quad [16.30]$$